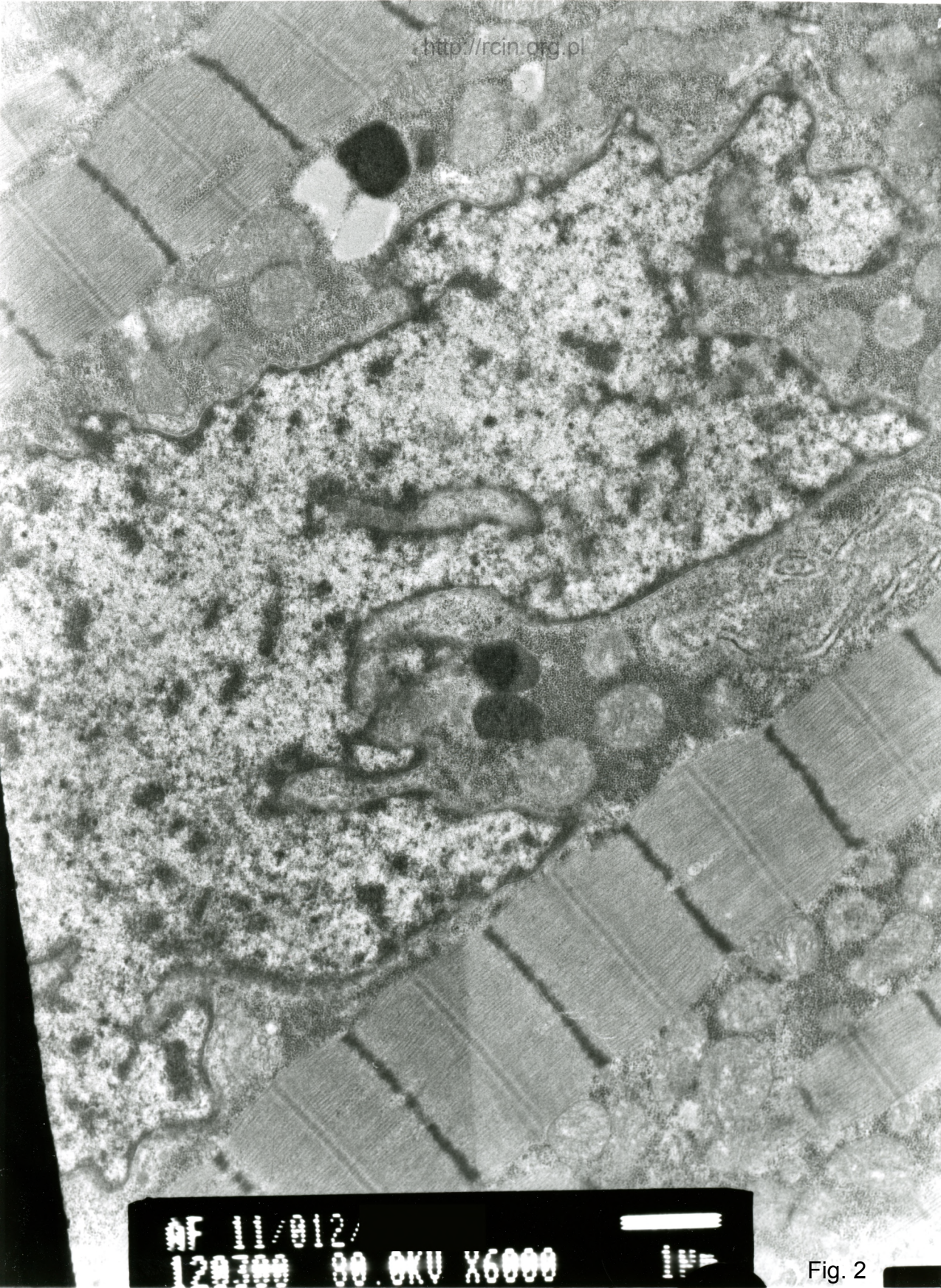


AF 11/012/  
120299 00.0KV X3000 2µm

Fig. 1

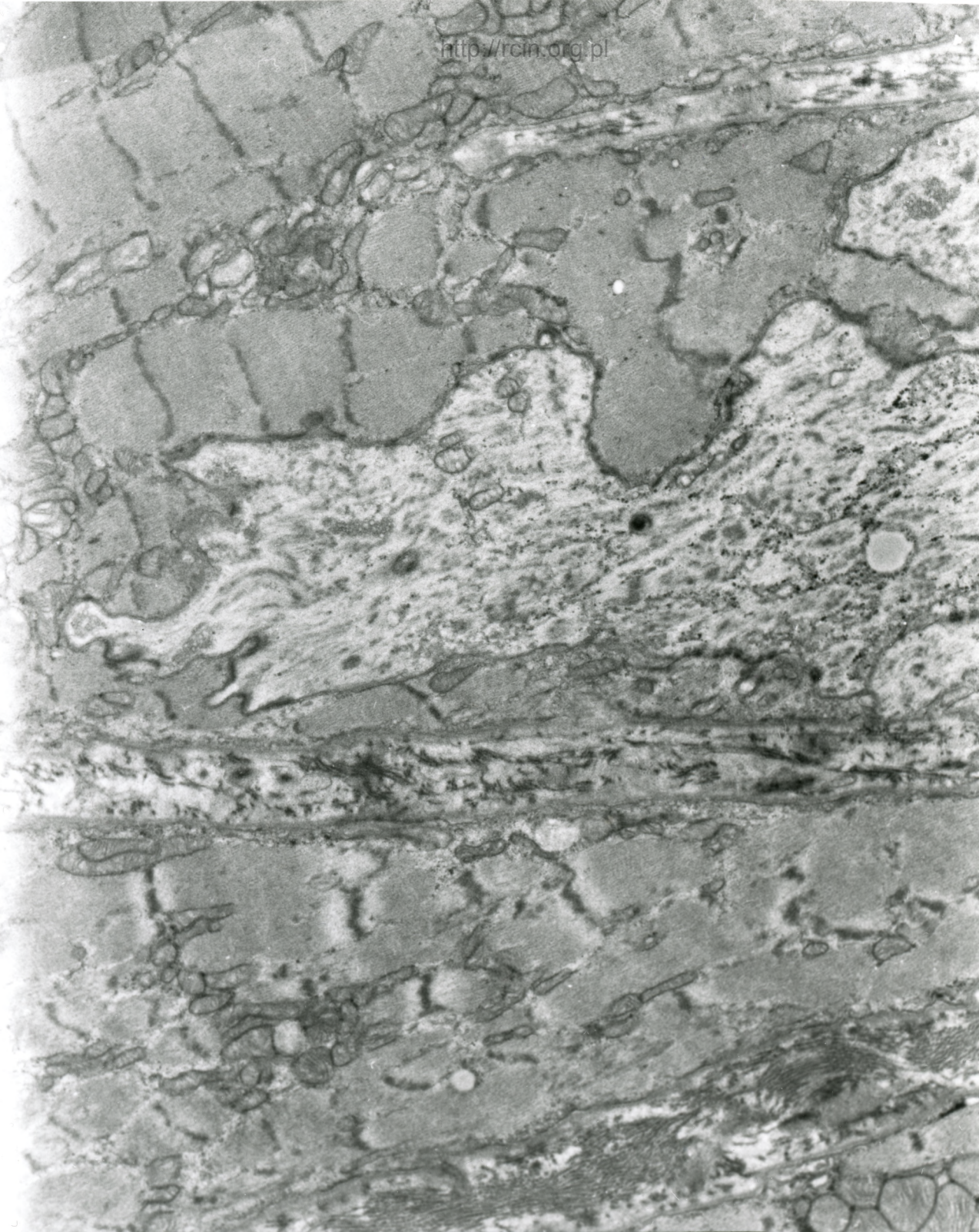




AF 11/012/  
120300 80.0KV X6000

Fig. 2

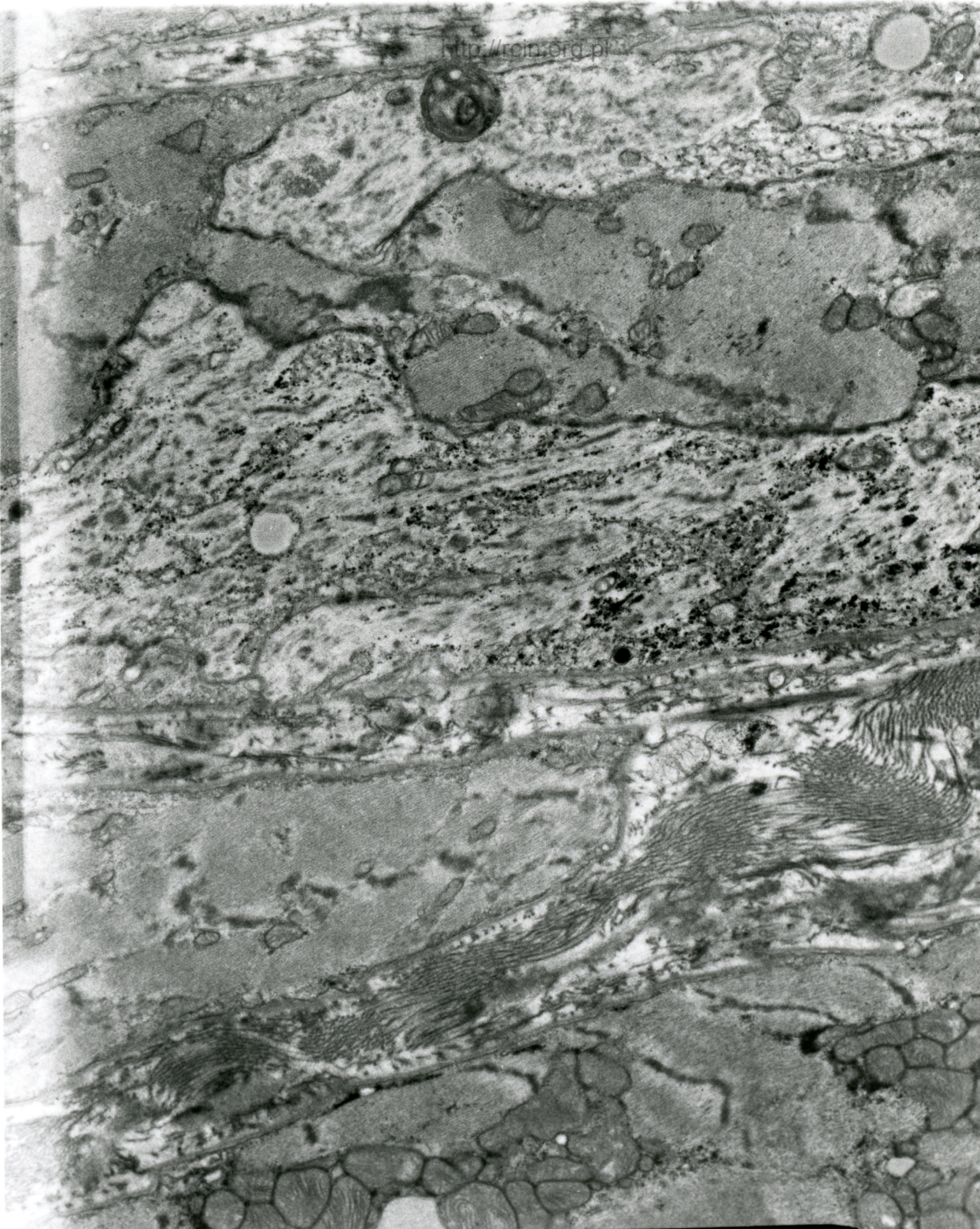




AF 11/012/  
120296 80.0KV X4000 2V

Fig. 3





AF 11/912/  
120295 80.0KV X4000 2µm

Fig. 4

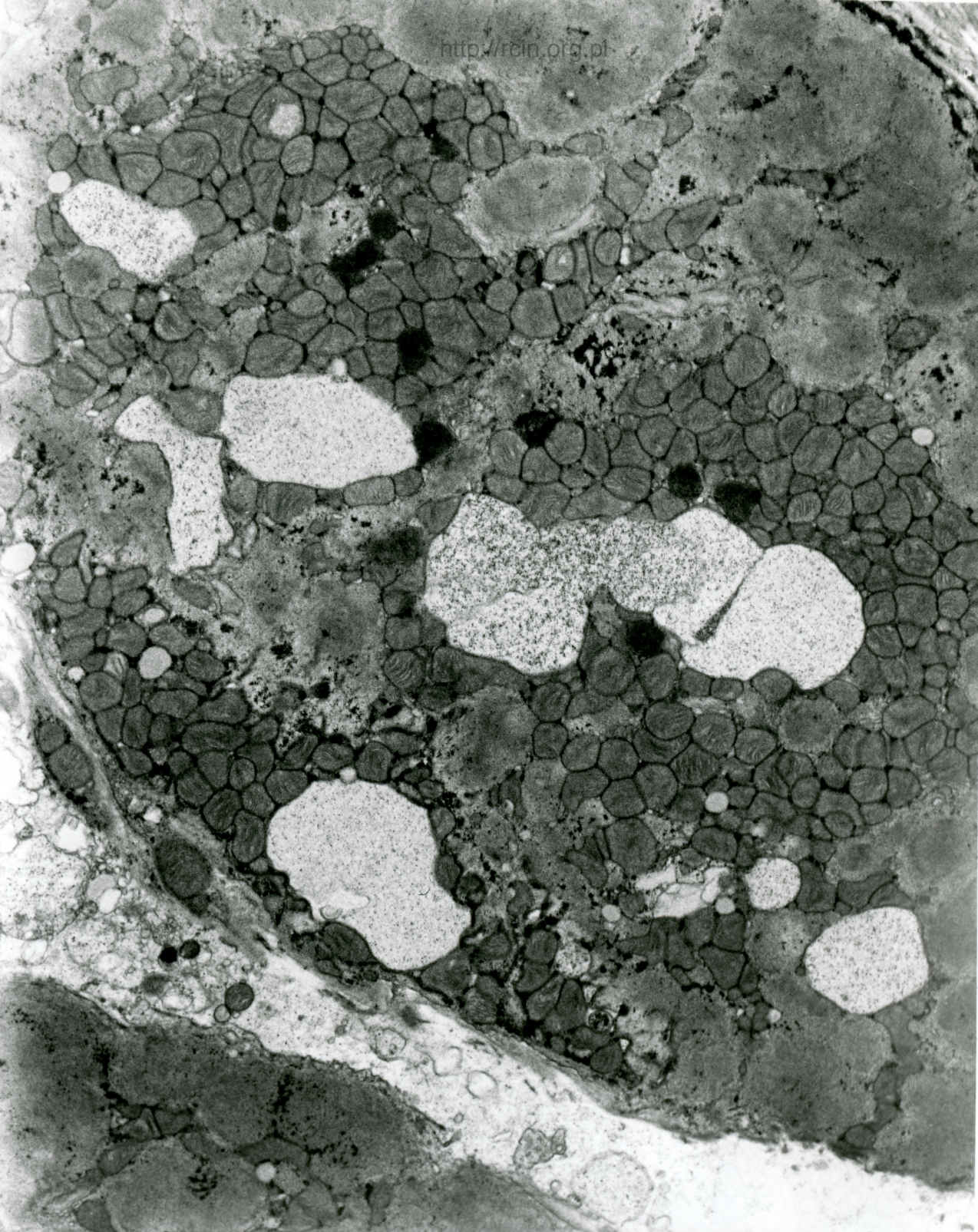




GF 11/012/  
120200 00 0KV X3000 200

Fig. 5

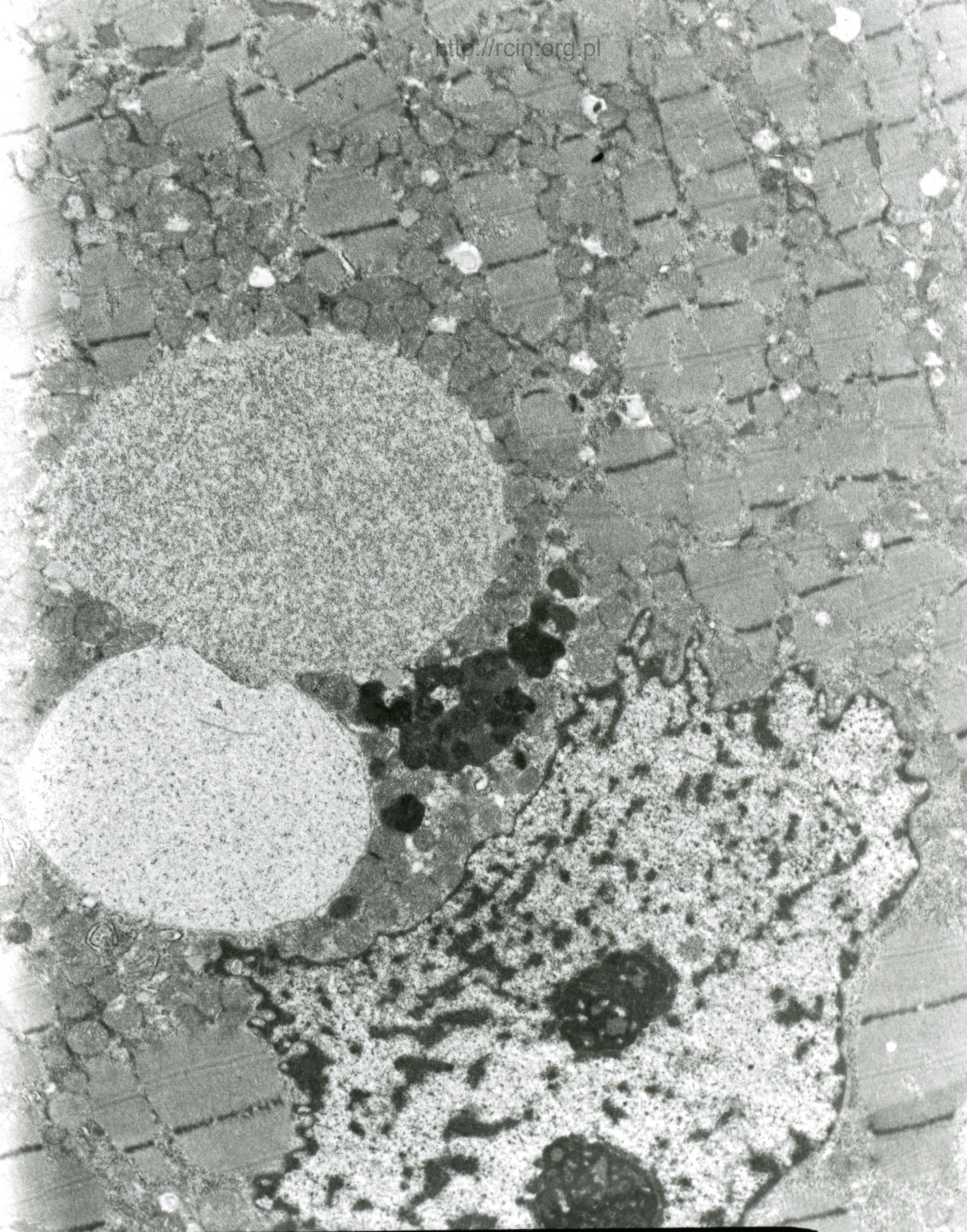




9F 11/912/  
129304 80.0KV X3000 2µm

Fig. 6

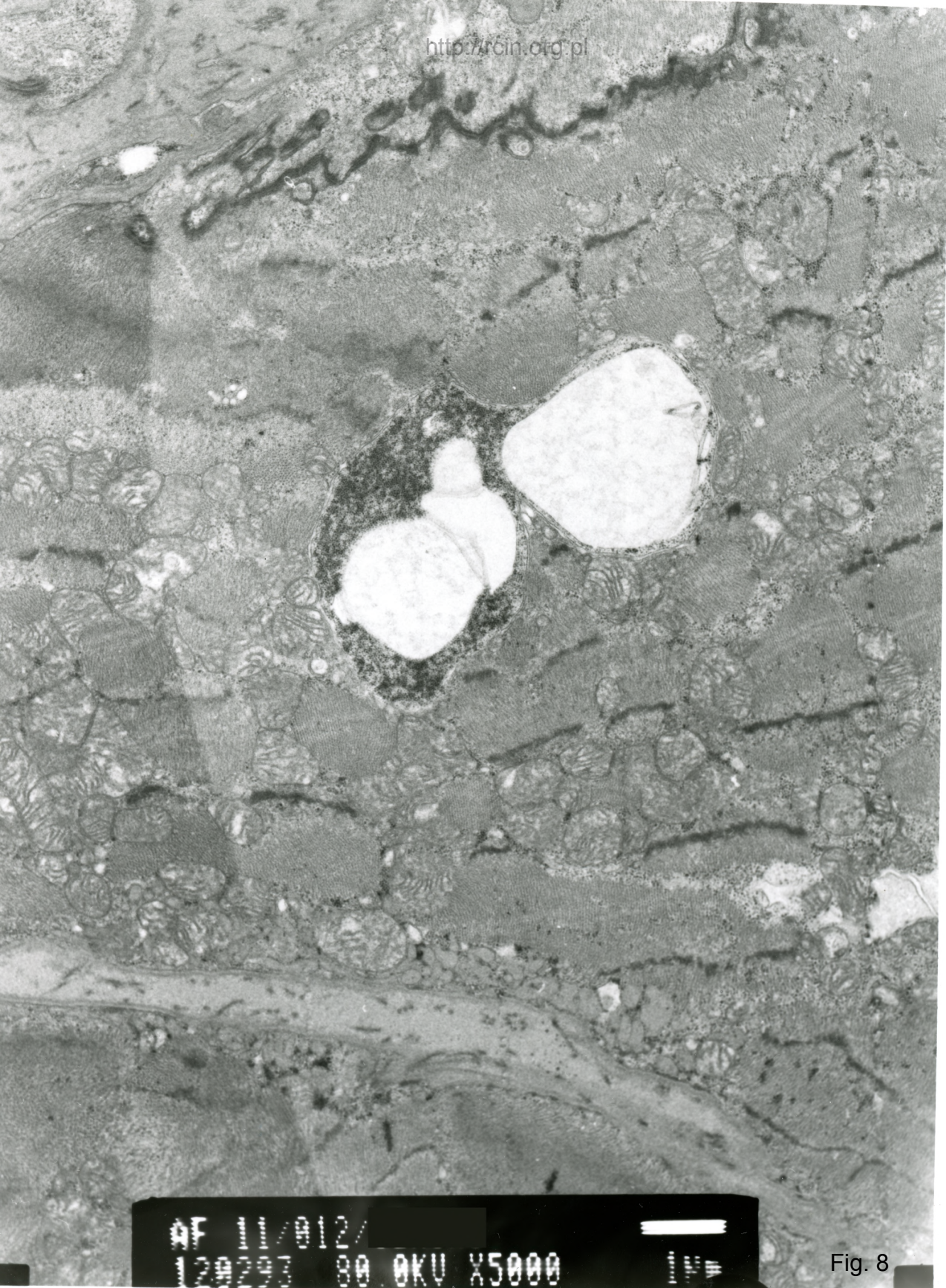




AF 11/012/  
120703 AA OKU X3000

Fig. 7

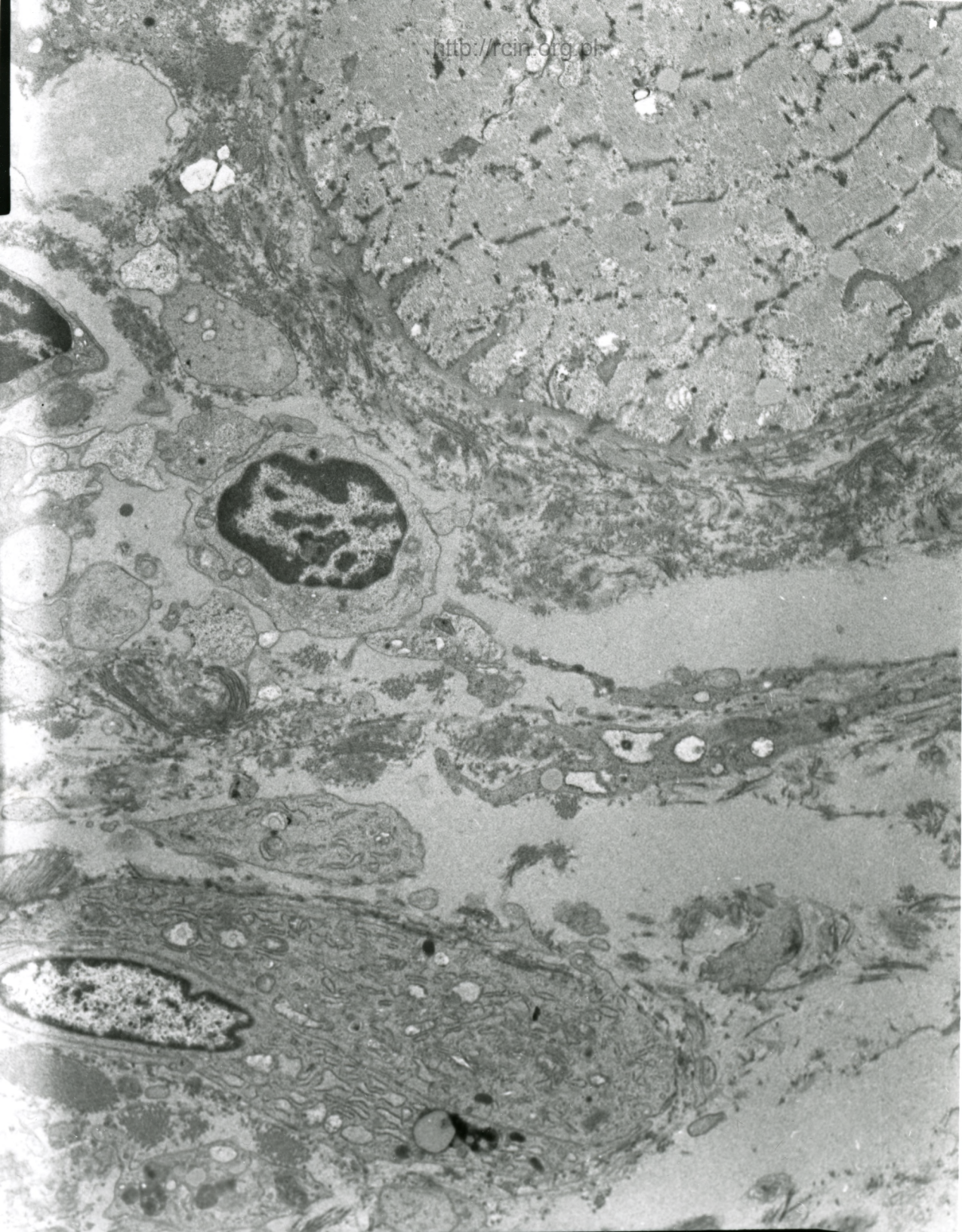




AF 11/012/  
120293 80 OKU X5000

Fig. 8

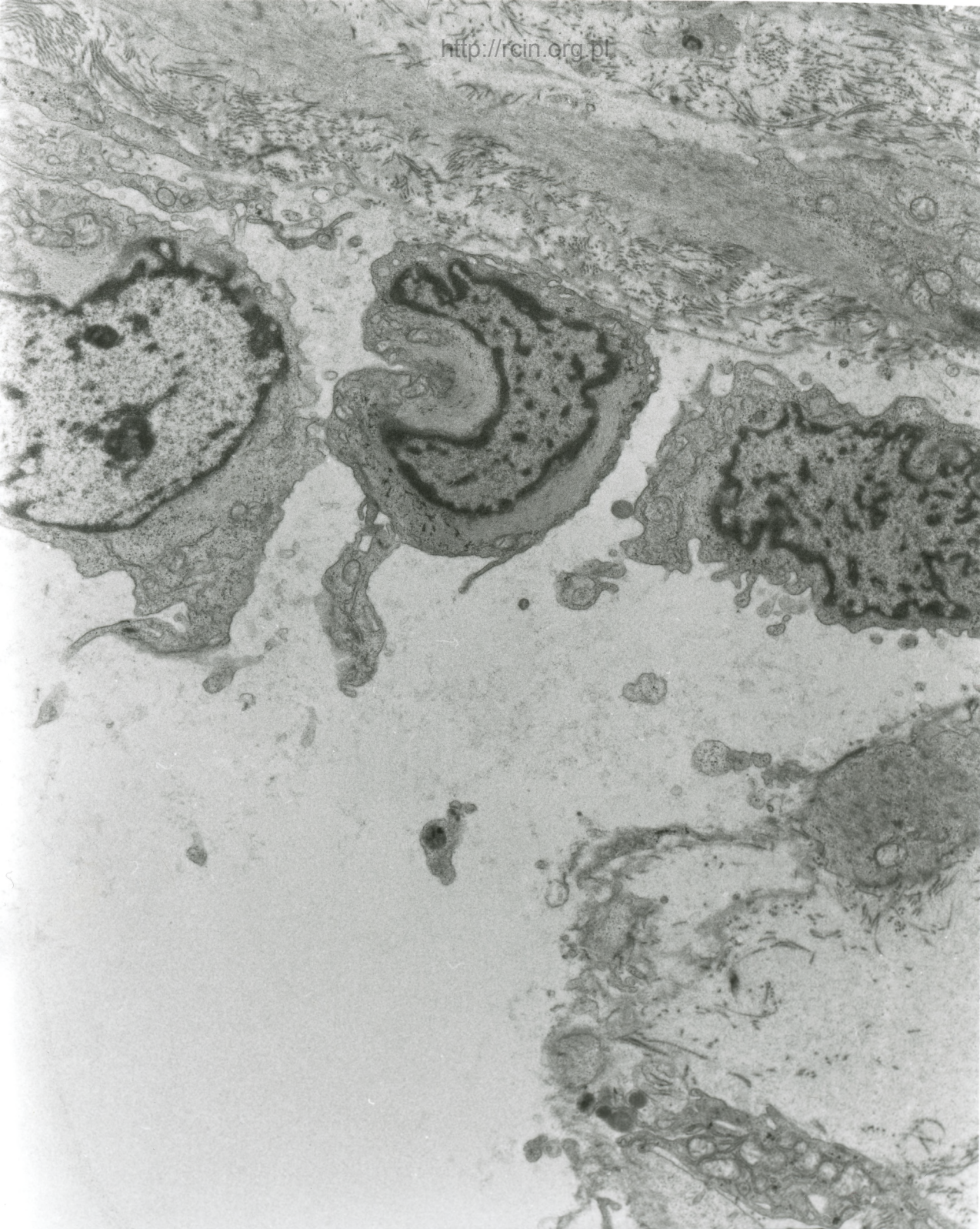




AF 11/012/  
120701 PA XVII Y2500

Fig. 9

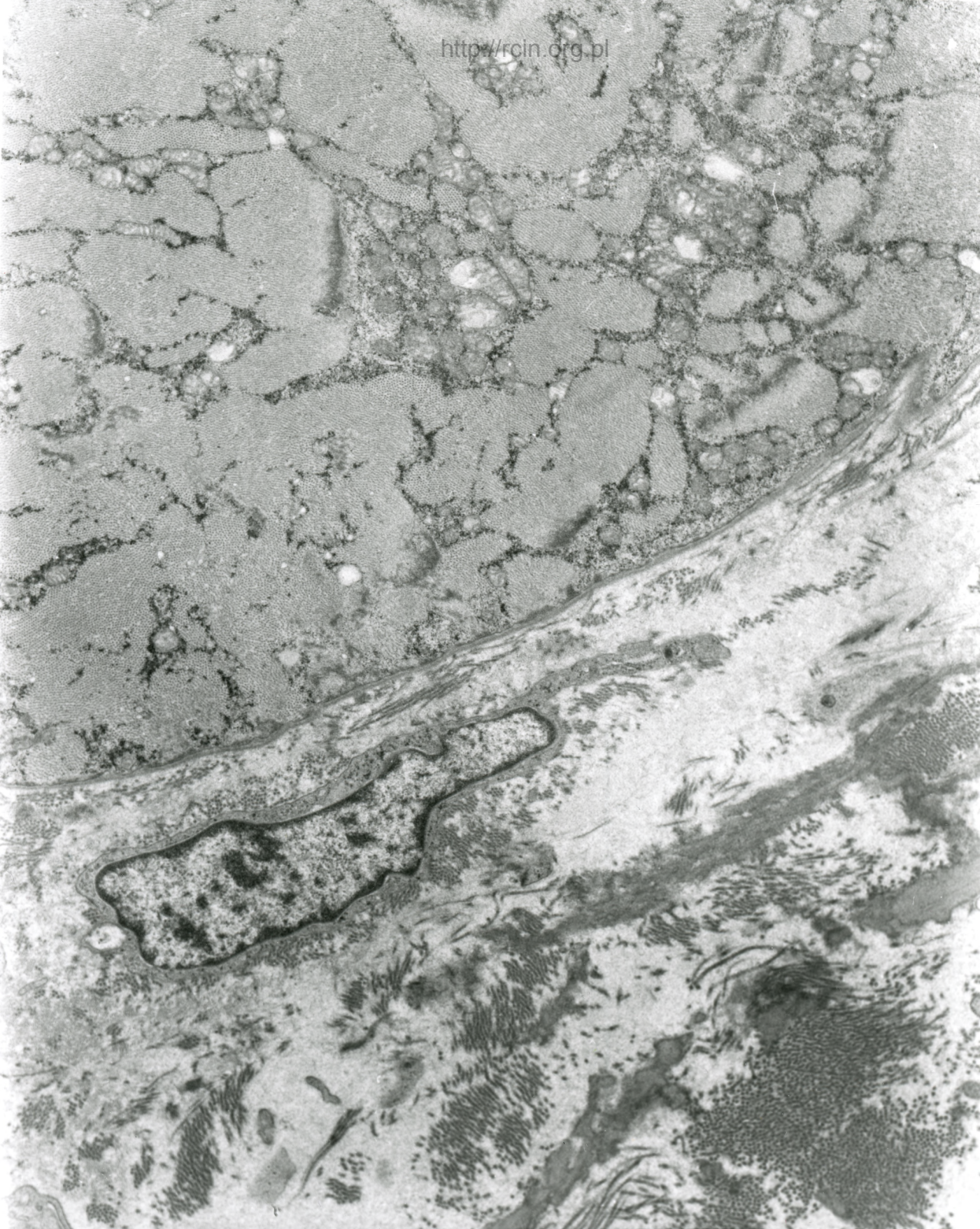




AF 11/012/  
120297 00.0KV X3000 2µm

Fig.10





AF 11/012/  
120298 80.0KV X4000 2µm

Fig.11



Analiza ultrastrukturalna wykazała w części biopłatu architekturę kardiomiocytów nie odbiegającą znacznie od normy, struktura sarkomerów była zachowana (Fig. 1-2). W niektórych komórkach obserwowano jednak dezorganizację sarkomerów i zaburzenia w układzie oraz zanik miofibrili (Fig. 3-4). Niektóre jądra kardiomiocytów były zmienione, charakteryzujące się licznymi wgłobieniami oraz w niektórych przypadkach pęknięciami w otoczce jądrowej, co wiązało się z penetracją organelli do ich wnętrza (Fig.5). W biopłacie obecne były otoczone błoną skupiska ziaren glikogenu oraz wakuole (Fig.6-8). W przestrzeni pozakomórkowej obserwowano leukocyty oraz, miejscami dość obfitą, tkankę łączną (Fig. 9-11)

Ultrastructural analysis revealed focally unchanged cardiomyocytes architecture with preserved sarcomeres structure (Figs. 1-2). However, disorganization of sarcomeres and abnormalities in their pattern as well as atrophy of myofibrils were observed in some cells (Figs. 3-4). Some cardiomyocytes' nuclei were altered, characterized by numerous indentations and, in some cases, breaks in the nuclear envelope, which was associated with penetration of organelles into their interior (Fig.5). Vacuoles and membrane-surrounded clusters of glycogen granules were seen in the sarcoplasm (Figs. 6-8). In the extracellular space leukocytes and abundant connective tissue were observed (Figs. 9-11).